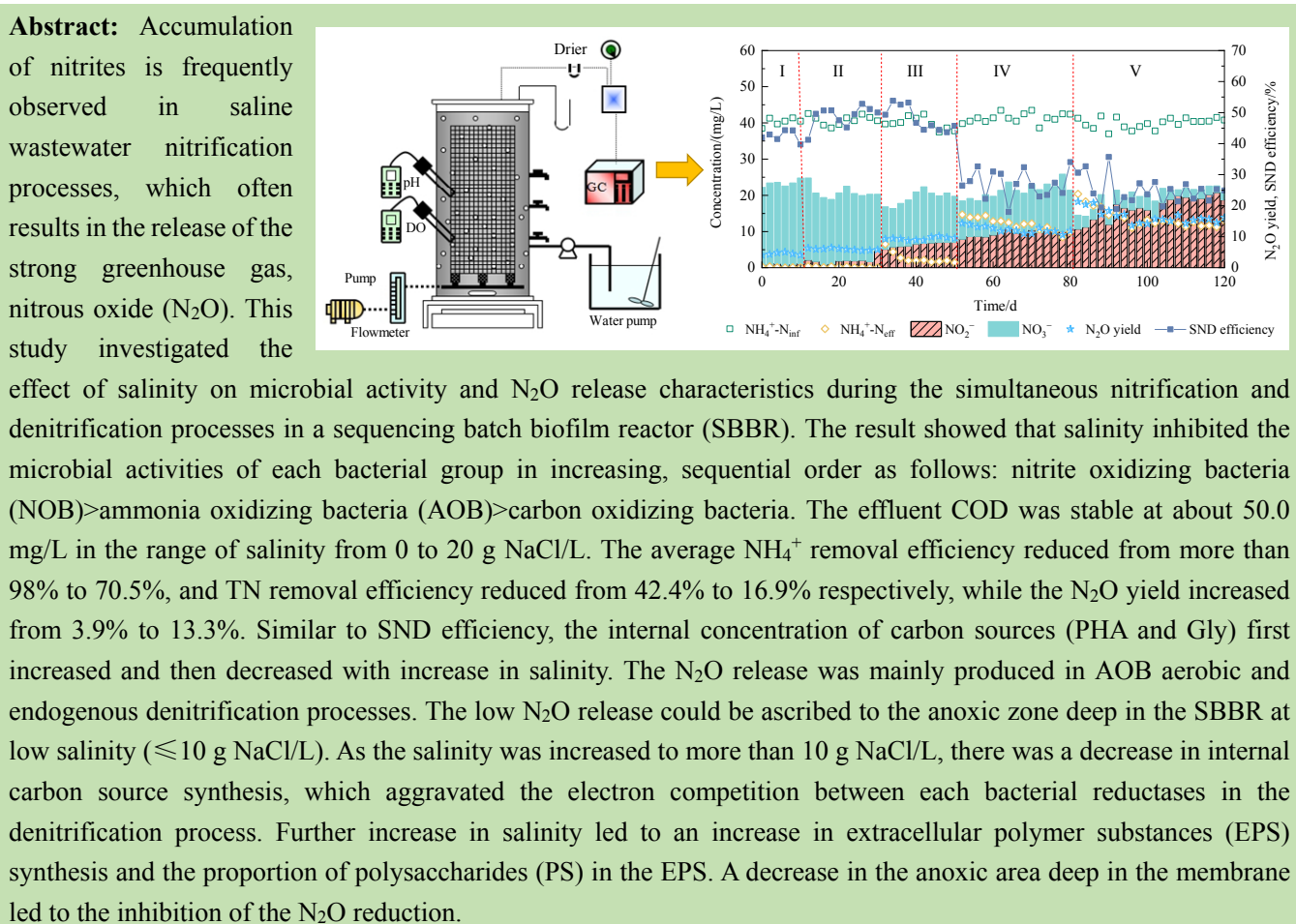


## The effects of salinity on microbial activity and N<sub>2</sub>O release in anoxic-aerobic sequencing batch biofilm reactor

Youkui GONG<sup>1,2\*</sup>, Yinglong YUE<sup>1</sup>, Yongzhen PENG<sup>2</sup>

1. Department of Architecture Engineering, Yantai Vocational College, Yantai, Shandong 264670, China

2. National Engineering Laboratory for Advanced Municipal Wastewater Treatment and Reuse Technology, Beijing University of Technology, Beijing 100124, China



**Key words:** sequencing batch biofilm reactor; salinity; N<sub>2</sub>O; aerobic denitrification; endogenous denitrification

收稿: 2019-10-22, 修回: 2019-12-08, 网络发表: 2020-01-04, Received: 2019-10-22, Revised: 2019-12-08, Published online: 2020-01-04

基金项目: 国家自然科学基金资助项目(编号: 51508008); 烟职博士科研启动基金(编号: 2018002)

作者简介: 巩有奎(1977-), 男, 山东省夏津市人, 博士, 副教授, 生活污水生物脱氮过程专业, Email: 260943813@qq.com.

**引用格式:** 巩有奎, 岳英龙, 彭永臻. 盐度对缺氧-好氧 SBBR 微生物活性及 N<sub>2</sub>O 释放的影响. 过程工程学报, 2020, 20(8): 970-978.

Gong Y K, Yue Y L, Peng Y Z. The effects of salinity on microbial activity and N<sub>2</sub>O release in anoxic-aerobic sequencing batch biofilm reactor (in Chinese). Chin. J. Process Eng., 2020, 20(8): 970-978, DOI: 10.12034/j.issn.1009-606X.219325.

# 盐度对缺氧-好氧 SBBR 微生物活性及 N<sub>2</sub>O 释放的影响

巩有奎<sup>1,2\*</sup>, 岳英龙<sup>1</sup>, 彭永臻<sup>2</sup>

1. 烟台职业学院建筑工程系, 山东 烟台 264670

2. 北京工业大学城镇污水深度处理与资源化利用技术国家工程实验室, 北京 100124

**摘要:** 含盐废水硝化过程常常出现亚硝酸盐积累, 从而导致强温室气体 N<sub>2</sub>O 的产生。利用序批式生物膜反应器(SBBR), 考察了含盐生活污水同步脱氮过程不同菌群活性变化及 N<sub>2</sub>O 释放过程。结果表明, 盐度增加, 各菌群活性受抑制程度依次为亚硝酸盐氧化菌(Nitrite Oxidizing Bacteria, NOB)>氨氧化菌(Ammonia Oxidizing Bacteria, AOB)>碳氧化菌。实验盐度范围内(0~20 g NaCl/L), COD 出水约稳定在 50.0 mg/L, 平均 NH<sub>4</sub><sup>+</sup>去除率由 98%以上降至约 70.5%, TN 去除率由 42.4%降至 16.9%, N<sub>2</sub>O 平均产率由 3.9%增至 13.3%。与 SND 变化类似, 微生物体内聚-β-羟基脂肪酸酯(PHA)和糖原(Gly)积累随盐度增加呈先增加后减少趋势。N<sub>2</sub>O 主要产生于 AOB 好氧反硝化过程和硝化后期内源反硝化过程。低盐度( $\leq 10$  g NaCl/L)下, SBBR 内缺氧区有助于减少 N<sub>2</sub>O 释放; 盐度增加, 高盐度耦合低内碳源合成, 加剧了内源反硝化阶段各还原酶之间电子竞争。高盐度导致微生物胞外聚合物(EPS)分泌增加, 多聚糖(PS)比例上升, 膜内缺氧区域减少, 抑制 N<sub>2</sub>O 还原过程。

**关键词:** 序批式生物膜反应器; 盐度; N<sub>2</sub>O; 好氧反硝化; 内源反硝化

中图分类号: X703.1 文献标识码: A 文章编号: 1009-606X(2020)08-0970-09

## 1 前言

近年来, 为缓解淡水资源紧缺, 许多沿海城市开始推行海水直用工程。然而将海水用于工业冷却水、工业生产用水和城市生活用水(洗厕、道路冲洗和景观)等会对污水生物处理系统产生毒害作用, 影响其脱氮性能<sup>[1]</sup>。不同脱氮工艺的耐盐能力有所不同<sup>[1~3]</sup>。序批式生物膜反应器(Sequencing Batch Biofilm Reactor, SBBR)常用于生活污水生物硝化/反硝化脱氮过程, 随溶解氧(DO)变化, 在其内部沿物料传质方向存在好氧区-低氧/缺氧过渡区-缺氧区, 各区域分布相应优势菌种。其中, 好氧区增殖的异养菌为其内部硝化菌提供屏障, 可削弱有毒物质冲击对硝化菌的抑制作用, 在成分复杂的污水处理过程中具有明显优势<sup>[1,4]</sup>。研究<sup>[5]</sup>表明, 进水盐度增至 3%时, SBBR 反应器对 COD 和 NH<sub>4</sub><sup>+</sup>的去除效果不受影响。

作为三种重要的温室气体(CO<sub>2</sub>, CH<sub>4</sub> 和 N<sub>2</sub>O)之一, N<sub>2</sub>O 增温潜势约为 CO<sub>2</sub> 的 265 倍<sup>[6]</sup>, 且可破坏臭氧层<sup>[7]</sup>。自然界中约 2/3 的 N<sub>2</sub>O 来源于微生物反应, 其中, 生物脱氮过程是重要的 N<sub>2</sub>O 释放源<sup>[8]</sup>。污水生物脱氮过程中 N<sub>2</sub>O 主要产于自养菌硝化过程和异养菌反硝化过程: (1) 羟胺(NH<sub>2</sub>OH)氧化过程。在氨氧化菌(Ammonia Oxidizing Bacteria, AOB)氧化 NH<sub>2</sub>OH 生成 NO<sub>2</sub><sup>-</sup>的过程中, 一些中间产物(如 HNO<sub>2</sub>)会产生 N<sub>2</sub>O<sup>[9,10]</sup>; (2) AOB 好氧反硝化过程。AOB 以 NO<sub>2</sub><sup>-</sup>和 NO 作为其最终的电子受体,

利用 NH<sub>4</sub><sup>+</sup>/NH<sub>2</sub>OH 作为电子供体, 将 NO<sub>2</sub><sup>-</sup>还原为 N<sub>2</sub>O, 该过程被认为是导致硝化过程 N<sub>2</sub>O 释放的主要因素<sup>[11,12]</sup>; (3) 异养菌反硝化过程。NO<sub>x</sub><sup>-</sup>还原过程中, 不同氧化还原酶之间存在电子竞争现象, 其中, 氧化亚氮还原酶(Nos)电子竞争能力较弱, 且易受环境因素[(溶解氧(DO), C/N, NO<sub>2</sub><sup>-</sup>/HNO<sub>2</sub>, pH 和盐度等有毒物质)影响<sup>[13]</sup>, 环境条件改变导致反硝化过程 N<sub>2</sub>O 积累并释放。SBBR 内同步硝化 / 反硝化 (Simultaneous Nitrification and Denitrification, SND)过程中, 低氧区产生的 N<sub>2</sub>O 可扩散至生物膜内部缺氧区域, 完成其还原过程, 降低 N<sub>2</sub>O 释放量<sup>[14]</sup>]。目前, 大量研究集中在考察盐度对反应器生物脱氮性能的影响, 而对不同盐度下 SBBR 系统微生物活性变化及 N<sub>2</sub>O 释放特性研究尚不多见。

海水利用产生的污水经市政管网进入污水处理厂, 水量约为污水处理总量的 30%, 含盐生活污水的盐度一般不超过 10 g/L。除此之外, 冬季大量使用的传统融雪剂(NaCl 为主要成分)也会与市政污水混合后进入城市污水处理厂, 对污水生物处理过程产生 NaCl 盐度冲击。两者叠加, 其 NaCl 盐度可达 10~20 g/L。本工作利用 SBBR 反应器, 通过投加不同质量粗盐(NaCl)制成含盐生活污水, 考察了不同盐度(0, 5, 10, 15 和 20 g NaCl/L)下 SBBR 内微生物活性变化和同步脱氮性能, 探讨了 SBBR 内 N<sub>2</sub>O 的释放与生物脱氮的过程关系, 提出了不同盐度条件下 SBBR 内 N<sub>2</sub>O 的释放过程, 为 SBBR 处

理含盐生活污水过程优化及  $\text{N}_2\text{O}$  减量提供参考。

## 2 实验

### 2.1 实验接种污泥及水质

接种污泥取自实验室具有良好脱氮性能的活性污泥。SBBR 启动完毕后, 其  $\text{NH}_4^+$ 去除率>95%, 亚硝态氮积累率(Nitrite Accumulation Rate, NAR= $\text{NO}_2^-/\text{N}/\text{NO}_x^-/\text{N}$ )<20%。实验所用生活污水取自某高校家属区化粪池出水, 其水质 COD 为 165~225 mg/L,  $\text{NH}_4^+/\text{N}$  浓度为 45.1~67.5 mg/L,  $\text{NO}_x^-/\text{N}$  浓度<1 mg/L, pH 为 7.25~8.15。向各反应阶段的原水中投加不同质量粗盐 NaCl, 调节进水 NaCl 浓度至设定值。

### 2.2 实验装置及运行方式

SBBR 工作容积为 12.0 L, 装填瑞琪填料(RCP-5325S, 北京神州瑞琪)作为碳纤维膜的支撑, 碳纤维膜比表面积为 1000~1300  $\text{m}^2/\text{g}$ , 挂膜后 SBBR 反应器内填料填充率为 35%。SBBR 底部均匀分布三个曝气头, 运行过程中, 以温控磁力搅拌器连续搅拌<sup>[15]</sup>(图 1)。实验过程中, SBBR 密闭运行, 以气体流量计控制曝气量为 30 L/h, 所有气体经干燥器后由气体采样袋收集后待用<sup>[15]</sup>。SBBR 顶部设带水封 U 型管以平衡 SBBR 内外压力。SBBR 启动完毕后, 填充率为 35%。实验阶段 SBBR 充水体积比为 2:3, 采用进水(10 min)–缺氧( $\text{N}_2$  曝气 50 min)–好氧(空气曝气 380 min)–排水(10 min)–闲置(270 min)共 5 个反应过程(Phase I~V), 每天运行两个周期, PLC 在线控制 SBBR 运行阶段的切换。

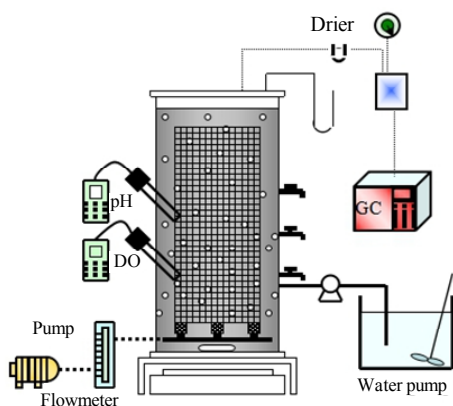


图 1 SBBR 实验装置示意图

Fig.1 Schematic diagram of SBBR experimental device

整个实验过程分为 5 个阶段(Phase I~V), 各阶段进水盐度分别为 0, 5, 10, 15 和 20 g NaCl/L, SBBR 稳定运行 4 个周期后梯度增加进水盐度, 整个实验过程未设置排泥阶段, 排水过程中排除脱落生物膜。

### 2.3 微生物活性测定实验

比耗氧速率(Specific Oxygen Uptake Rate, SOUR)用于表示微生物污染物降解活性。生物脱氮系统内, 丙烯基硫脲(ATU)和氯酸钠(NaClO<sub>3</sub>)可分别抑制 AOB 和亚硝态氮氧化菌(Nitrite Oxidizing Bacteria, NOB)的活性<sup>[16]</sup>。通过向生物处理污泥中加入不同菌种活性抑制剂, 测定相应条件下的 SOUR, 表征活性污泥系统内各菌群的活性。不同运行阶段末期, 取部分碳纤维膜悬挂填料, 经无菌水冲洗后, 在 250 mL 无生理盐水中用振筛振荡 30 min, 测定脱落生物膜微生物 SOUR, 测定方案见表 1。碳纤维放回 SBBR 内部, 继续挂膜运行。

表 1 不同微生物 SOUR 测定批次试验

Table 1 SOUR determination batch test of different microorganisms

No.	Inhibitor	Aim	SOUR
1	–	Inhibit the activity of all the bacteria	SOUR <sub>1</sub>
2	ATU	Inhibit the activity of AOB	SOUR <sub>2</sub>
3	NaClO <sub>3</sub>	Inhibit the activity of NOB	SOUR <sub>3</sub>
4	ATU+NaClO <sub>3</sub>	Inhibit the activity of AOB and NOB	SOUR <sub>4</sub>

计算不同生物硝化过程 SOUR, 确定不同菌群的比耗氧速率, 表示各菌群的活性<sup>[17]</sup>。计算方法为  
总比耗氧速率:  $\text{SOUR}_{\text{total}} = \text{SOUR}_1 - \text{SOUR}_0$   
AOB 比耗氧速率:  $\text{SOUR}_{\text{AOB}} = \text{SOUR}_1 - \text{SOUR}_2$   
NOB 比耗氧速率:  $\text{SOUR}_{\text{NOB}} = \text{SOUR}_1 - \text{SOUR}_3$   
碳氧化菌比耗氧速率:  $\text{SOUR}_{\text{C}} = \text{SOUR}_1 - \text{SOUR}_4$   
活性系数 AC:  $\text{AC} = \text{SOUR}_i / \text{SOUR}_0$

式中, SOUR<sub>i</sub> 分别为不同盐度下各菌群相应的 SOUR, SOUR<sub>0</sub> 为未投加 NaCl 时微生物好氧速率。

### 2.4 测试及分析方法

#### 2.4.1 水质测定方法

用 Multi340i 便携式 DO/pH 测定仪(德国 WTW 公司)测定 SBBR 内 DO 和 pH 值。用标准方法测定处理过程 SBBR 内污水化学需氧量(COD), 硝态氮( $\text{NO}_3^-/\text{N}$ ), 亚硝态氮( $\text{NO}_2^-/\text{N}$ )和污泥挥发性悬浮固体(MLVSS)等质量浓度<sup>[18]</sup>。

#### 2.4.2 内源物测定方法

用 6890N 气相色谱仪[安捷伦科技(中国)有限公司]测定聚-β-羟基丁酸(PHB)和聚-β-羟基戊酸(PHV)<sup>[19]</sup>, 两者之和为聚羟基脂肪酸酯(PHA); 以蒽酮法测定糖原(Glycogen, Gly)<sup>[20]</sup>。

#### 2.4.3 $\text{N}_2\text{O}$ 测定方法

整个反应过程中, 隔天对 SBBR 取样测试。反应过

程中所有气体均经气体干燥器后进入 SBBR 顶部设置的采样袋, 测试周期内每 0.5 h 更换一次采样袋, 直至反应结束。湿式流量计测定气体各采样袋内气体体积, 用气相色谱仪测定气相 N<sub>2</sub>O 浓度, 所用色谱柱为 HP-Plot/分子筛(30 m×0.53 mm 内径×25 μm 膜), 色谱测定条件: 进样口温度 110 °C, 炉温 180 °C, ECD 检测器 300 °C。用顶部空气法确定溶解态 N<sub>2</sub>O 浓度<sup>[21]</sup>。

### 3 结果与讨论

#### 3.1 不同盐度生物膜表面微生物菌群活性变化

SOUR 是反映生物脱氮过程中各类型微生物活性的重要参数。盐度增加, 水体渗透压升高, 微生物需通过摄入更多的 DO 促进其新陈代谢作用, 克服增大的渗透

压, 以维持其细胞质水分平衡。因此, 造成低盐度(5 g NaCl/L)下各微生物 SOUR 呈不同程度的增加, 见表 2。盐度增至 10 g NaCl/L 以上时, 破坏了微生物细胞膜和菌体内活性酶, 影响微生物正常的生理活动, 其活性迅速降低。盐度由 0 g NaCl/L 增至 20 g NaCl/L 时, SOUR<sub>AOB</sub> 和 SOUR<sub>NOB</sub> 由 7.65 和 8.54 mg/(g MLVSS·h) 分别降至 2.43 和 0.82 mg/(g MLVSS·h), 活性系数 AC 分别为 0.32 和 0.10。盐度增加破坏了微生物原有生存环境, 微生物进行代谢调整以适应新的渗透压, 从而影响微生物活性。同时, 盐度增加, 水中 DO 浓度和氧转移速率下降, 与 NOB 相比, AOB 对 DO 具有更强的亲和力, 在低 DO 条件下, 其受高盐度抑制程度小于 NOB, SOUR<sub>AOB</sub>/SOUR<sub>NOB</sub> 由 0.90 增至 2.96。

表 2 各盐度条件下 SBBR 内菌群比耗氧速率(SOUR)及其活性系数(AC)  
Table 2 Variations of SOUR and activity coefficient (AC) under different salinities in SBBR

Bacteria	0 g NaCl/L		5 g NaCl/L		10 g NaCl/L		15 g NaCl/L		20 g NaCl/L	
	SOUR	AC	SOUR	AC	SOUR	AC	SOUR	AC	SOUR	AC
Carbon oxidizing bacteria	23.5	1	25.6	1.09	21.9	0.93	18.8	0.80	16.8	0.71
AOB	7.65	1	8.09	1.06	7.27	0.95	5.97	0.78	2.43	0.32
NOB	8.54	1	8.98	1.05	6.87	0.80	2.65	0.31	0.82	0.10
SOUR <sub>AOB</sub> /SOUR <sub>NOB</sub>	0.90		0.90		1.06		2.25		2.96	

Note: the unit of SOUR is mg/(g MLVSS·h).

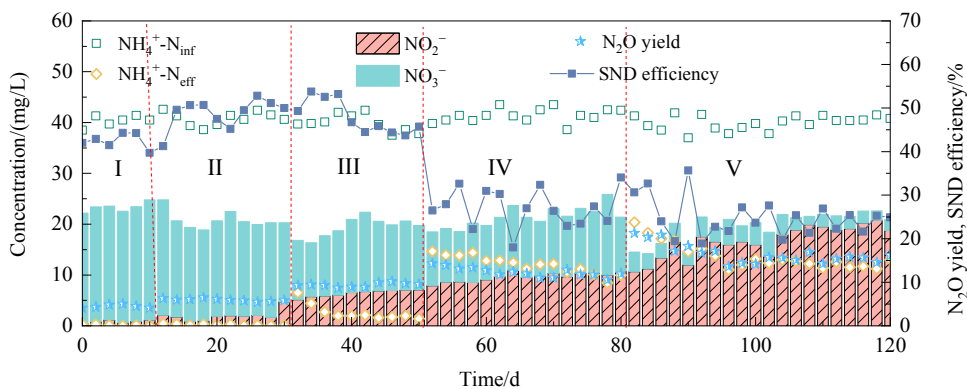
#### 3.2 不同盐度 SBBR 运行性能

SBBR 启动后, 分别投加 0, 5, 10, 15 和 20 g NaCl/L 含盐生活污水(对应阶段 I~V), 盐度梯度增加过程中, 其 COD 去除率均大于 80%。模拟 SBBR 处理含盐污水脱氮过程如图 2 所示。长时间含盐环境运行下, 微生物通过平衡自身渗透压调节生理变化, 保护细胞内原生物质, 恢复其有机物降解性能, 系统内逐渐驯化出部分嗜盐微生物。盐度增加对碳氧化菌的抑制程度最弱<sup>[22]</sup>。Campo 等<sup>[22]</sup>也发现在盐度为 0.30~38 g NaCl/L 时, SBBR 脱氮系统内总有机碳(TOC)去除率无明显变化。

无 NaCl 投加时, SBBR 出水 NH<sub>4</sub><sup>+</sup>-N<sub>eff</sub> 浓度小于 0.5 mg/L, 平均去除率大于 98%[NH<sub>4</sub><sup>+</sup>-N 去除率根据图 2 中氨氮进水(NH<sub>4</sub><sup>+</sup>-N<sub>inf</sub>)、出水浓度数据计算得出]。盐度为 5 g NaCl/L 时, NH<sub>4</sub><sup>+</sup>-N 去除率无明显变化。随盐度增加, SBBR 内出水 NH<sub>4</sub><sup>+</sup>-N 均呈先增加后减少的趋势, 初期盐度增加, 导致 SBBR 中 NH<sub>4</sub><sup>+</sup>-N<sub>eff</sub> 迅速上升。经含盐环境驯化, SBBR 内菌群不断优化, 硝化性能逐渐增强。盐度为 10 g NaCl/L, NH<sub>4</sub><sup>+</sup>-N 去除率达 95%。高盐度会破坏 AOB 生物膜及细菌活性酶, 影响微生物正常生理功能, 硝化性能急剧下降。盐度增至 20 g NaCl/L, SBBR 驯化后 NH<sub>4</sub><sup>+</sup>-N<sub>eff</sub> 达 12.0 mg/L, 去除率降至约

70.0%, 出水平均 NO<sub>2</sub><sup>-</sup>/NO<sub>x</sub><sup>-</sup> 由 0.03(0 g NaCl/L)增至 0.89(20 g NaCl/L), N<sub>2</sub>O 平均产率由 3.9% 增至 13.3%, 表明 NOB 对盐度变化更敏感, 盐度增加对 NOB 的抑制作用更强, 从而导致 NH<sub>4</sub><sup>+</sup>-N 氧化过程产生的 NO<sub>2</sub><sup>-</sup>未能及时氧化至 NO<sub>3</sub><sup>-</sup>, 与 Cortés-Lorenzo 等<sup>[23]</sup>的研究类似。

SBBR 填料表面分布不同菌群微生物。其中, 异养菌对有机物和 DO 的竞争力强于硝化菌, 生长于填料表面外部区域; AOB 和 NOB 的氧饱和常数分别为 0.25~0.50 和 0.72~1.84 mg/L, 生长于异养菌内部低氧区域<sup>[24]</sup>, 该区域主要进行 NH<sub>4</sub><sup>+</sup>-N 氧化过程。氧化过程产生的 NO<sub>2</sub><sup>-</sup> 和 NO<sub>3</sub><sup>-</sup> 以扩散方式进入生物膜内缺氧区域, 以外源有机物或内碳源作为电子供体, 完成同步反硝化。本研究中, 原水 C/N 较低, 微生物储存 PHA 和 Gly 含量低, 无 NaCl 投加时, SBBR 平均 SND 效率为 42.6%(根据图 2 阶段 I 内 0~8 d 对应 SND 效率, 计算平均 SND 效率)。随盐度增加, SND 效率呈先增加后减少趋势; 盐度为 5~10 g NaCl/L 时, 平均 SND 效率为 48.0%, 原因可能是低盐度下, NH<sub>4</sub><sup>+</sup>-N 去除率未降低, 部分硝化过程止步于 NO<sub>2</sub><sup>-</sup>, 与 NO<sub>3</sub><sup>-</sup> 还原过程相比, NO<sub>2</sub><sup>-</sup> 还原过程所需碳源约减少 40%, SND 效率略增加; 高盐度下, 硝化效率降低, 内碳源合成减少, 反硝化菌活性受到抑制, SND 降

图 2 不同盐度下 SBBR 脱氮性能及  $N_2O$  产率Fig.2 Performance of nitrogen removal and  $N_2O$  yield in SBBR under different salinities

至约 23.9%。

低氧区硝化过程产生的  $N_2O$  扩散至生物膜内缺氧区，可减少脱氮过程  $N_2O$  产率<sup>[14]</sup>。盐度增加，部分硝化过程止步于  $NO_2^-$ ，系统转为短程同步脱氮过程。低氧条件下，即使液相中  $NO_2^-$ -N 浓度小于 0.5 mg/L，AOB 以污泥絮体内部  $NO_2^-$  为电子受体，以  $NH_4^+/\text{NH}_2\text{OH}$  为电子供体，进行以  $N_2O$  为终产物的好氧反硝化过程，是导致  $N_2O$  释放的重要过程<sup>[25]</sup>。盐度由 0 g NaCl/L 增至 20.0 g NaCl/L 时，SBBR 内平均  $N_2O$  产率由 3.9% 增至 13.3%。其原因可能为 (1) 盐度对 NOB 抑制程度远大于对 AOB 的抑制，导致脱氮系统内  $NO_2^-$  积累， $NH_4^+$  和  $NO_2^-$  共存促进了 AOB 好氧反硝化过程的发生；(2) 与硝态氮还原酶(Nar)和亚硝态氮还原酶(Nir)相比，Nos 受盐度抑制增强，缺氧区域同步发生的反硝化过程  $N_2O$  去除量减少；(3) 硝化过程后期，碳源不足导致 SBBR 内出现  $NO_x^-$  的积累，盐度越高， $NO_2^-$  比例越大，反硝化过程高浓度  $NO_2^-/\text{HNO}_2$  会导致反硝化过程止步于  $N_2O$ ，从而导致其释放量迅速增加。

为确定不同盐度脱氮过程与  $N_2O$  释放之间的关系，对各盐度条件下微生物典型周期内碳源、无机氮元素、 $N_2O$  释放及 EPS 分泌变化进行了分析。

### 3.3 不同盐度 SBBR 脱氮过程中碳源变化

在缺氧阶段，异养反硝化菌以外碳源作为电子供体，完成上一周期残留的  $NO_x^-$  还原过程，部分外碳源以聚 PHA 和 Gly 形式储存在微生物体内。好氧反应初期，剩余外碳源继续被利用合成 PHA 和 Gly，见图 3。在盛宴期，生物体内储存 PHA 和 Gly，其合成量与外碳源种类有关<sup>[26-28]</sup>，其中，以乙酸为碳源有利于 PHA 的合成，以葡萄糖为碳源则有利于 Gly 的合成。Passanha 等<sup>[29]</sup>发现低浓度 NaCl 可提高纯菌 *Cupriavidusnecator* 的 PHA 合成能力，而高浓度则会抑制。本研究中的含盐生活污水的有机物种类丰富，低盐度(5 g NaCl/L)刺激下，胞内通过合成 PHA 抗逆盐度变化，PHA 和 Gly 合成略有增加，PHA 增量( $\delta_{\text{PHA}} = \text{反应过程 PHA 最大值} - \text{初始 PHA}$ )由 0 g NaCl/L 时的 44.8 mg/g MLVSS 增至 51.5 mg/g MLVSS，Gly 增量( $\delta_{\text{Gly}} = \text{反应过程 Gly 最大值} - \text{初始 Gly}$ )由 34.9 增至 38.3 mg/g MLVSS，其平均 SND 效率由 43.0% 增至 48.0%(图 2)；SBBR 反应后期，外碳源消耗殆尽，PHA 优先作为内碳源被降解，表明 PHA 在反硝化脱氮过程中更易被作为内碳源利用，PHA 降至低水平，Gly 开始降解<sup>[28,30]</sup>。

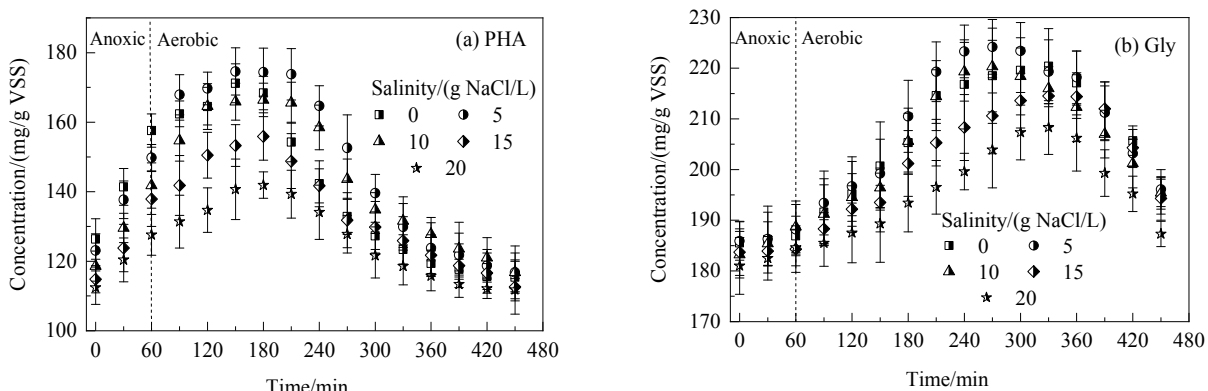


图 3 不同盐度 SBBR 典型周期 PHA 和 Gly 的变化

Fig.3 Variations of PHA and Gly in SBBR typical cycles under different salinities

盛宴/饥饿运行模式下,活性污泥系统能够迁移外源有机物并将其转化为内源聚合物,缺氧条件下,微生物体内积累内源物质可作为电子供体用于反硝化脱氮过程,从而实现碳源的有效利用<sup>[28]</sup>。高盐度条件下,微生物细胞膜和菌体的活性酶受到破坏,导致微生物细胞质壁分离,抑制微生物正常生理功能,直至其活性完全被抑制,降低微生物储存内碳源能力,PHA和Gly增量迅速降低<sup>[31]</sup>。盐度为20 g NaCl/L时,δ<sub>PHA</sub>和δ<sub>Gly</sub>分别降至29.5和27.3 mg/g MLVSS,导致SBR内源反硝化过程可利用电子供体含量降低,SND效率也降至约24.9%(图2)。在氨氮去除率迅速下降的情况下,系统内仍残留大量NO<sub>x</sub><sup>-</sup>,降低了脱氮过程碳源的利用率。

### 3.4 不同盐度SBR脱氮性能及N<sub>2</sub>O释放

图4为不同盐度的典型周期内NH<sub>4</sub><sup>+</sup>、NO<sub>2</sub><sup>-</sup>、NO<sub>3</sub><sup>-</sup>和TN的变化曲线。在缺氧阶段,以原水中COD作为电子供体,不同盐度下均可在30 min内完成反硝化过程,NH<sub>4</sub><sup>+</sup>无明显变化。在好氧初始阶段,SBR内尚存有部分外碳源,异养菌在DO竞争中处于优势地位,少量NH<sub>4</sub><sup>+</sup>用于微生物增殖。随盐度增加,其降解速率逐渐降低。盐度≤10 g NaCl/L时,硝化系统以不耐盐细菌为主,

盐度冲击负荷导致微生物活性受到抑制,经驯化后,亚硝化细菌从不耐盐细菌,如*Nitro somonas europaea-lineage*和*Nitrosomonas eutropha*转化为具有耐盐特性的菌种,活性逐渐恢复,NH<sub>4</sub><sup>+</sup>去除率增至约95%。盐度为20 g NaCl/L时,适应高盐度微生物菌群减少,微生物代谢活动受阻,生长速率降低;同时,污泥表面Zeta电位随盐度增加而趋于更负,高盐度条件下填料表面污泥絮体不易聚集,无法形成致密的生物膜,水体密度上升,污泥流失增加,进而影响污泥硝化性能。至反应结束时,SBR内仍残留NH<sub>4</sub><sup>+</sup>-N 15.2 mg/L,氨氮去除率为61.4%[图4(a)]。

硝化过程中,由于SND过程的存在,生成的NO<sub>x</sub><sup>-</sup>被同时发生的反硝化作用去除,初始硝化阶段未出现NO<sub>x</sub><sup>-</sup>的积累。外碳源完全被消耗后,PHA升至最大值,此后同步发生的反硝化过程以微生物体内PHA和Gly为电子供体,反硝化速率下降,NO<sub>x</sub><sup>-</sup>积累,TN去除速率下降。高盐度(20 g NaCl/L)条件导致微生物体内PHA和Gly积累量降低,电子供体减少,至反应结束时,系统内仍残留15.7 mg/L的NO<sub>x</sub><sup>-</sup>-N,平均TN去除率仅为16.9%(无NaCl投加时42.4%)。

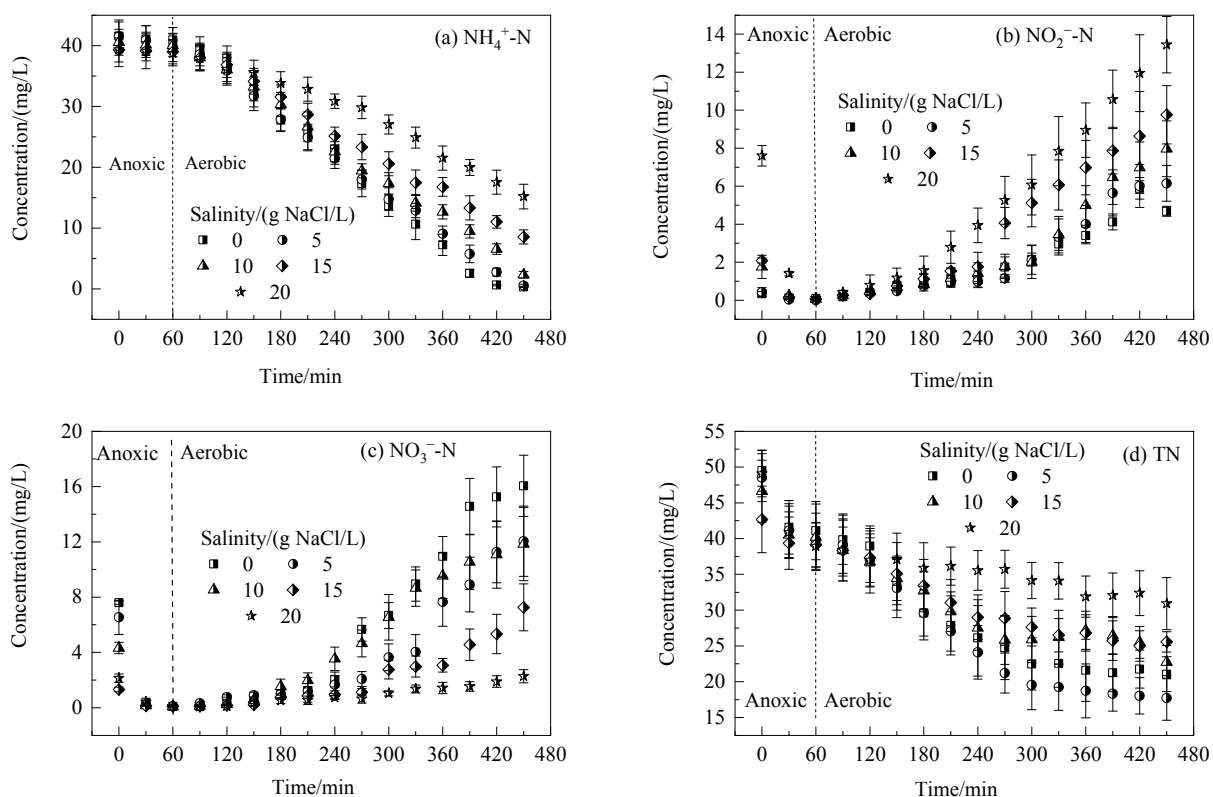


图4 不同盐度典型周期内NH<sub>4</sub><sup>+</sup>-N、NO<sub>2</sub><sup>-</sup>-N、NO<sub>3</sub><sup>-</sup>-N和TN变化  
Fig.4 Variations of NH<sub>4</sub><sup>+</sup>-N, NO<sub>2</sub><sup>-</sup>-N, NO<sub>3</sub><sup>-</sup>-N and TN in typical cycles under different salinities

图 5 为不同盐度下 SBBR 系统内  $\text{N}_2\text{O}$  的释放速率。无  $\text{NaCl}$  投加、缺氧阶段,  $\text{N}_2\text{O}$  的释放速率不足  $0.01 \text{ mg N/(L}\cdot\text{h)}$ , 与 Zhao 等<sup>[2]</sup>的研究类似。高 C/N 下,  $\text{NO}_3^-$  还原过程无  $\text{N}_2\text{O}$  积累; 盐度增至  $20 \text{ g NaCl/L}$  时, 反硝化初始  $30 \text{ min}$  内, 其  $\text{N}_2\text{O}$  释放率达  $0.054 \text{ mg N/(L}\cdot\text{h)}$ 。一方面, 盐度增加导致上一周期硝化过程以  $\text{NO}_2^-$  为主, 高盐度耦合初始高浓度  $\text{NO}_2^-$ , 抑制 Nos 的活性, 反硝化过程出现  $\text{N}_2\text{O}$  的积累并释放; 另一方面, 反硝化初始阶段, Nos 的合成速率小于硝态氮还原酶(Nar)和亚硝态氮还原酶(Nir), 也引起反硝化初始阶段  $\text{N}_2\text{O}$  的积累。60 min 时, 其释放速率降至  $0.01 \text{ mg N/(L}\cdot\text{h)}$  以下。

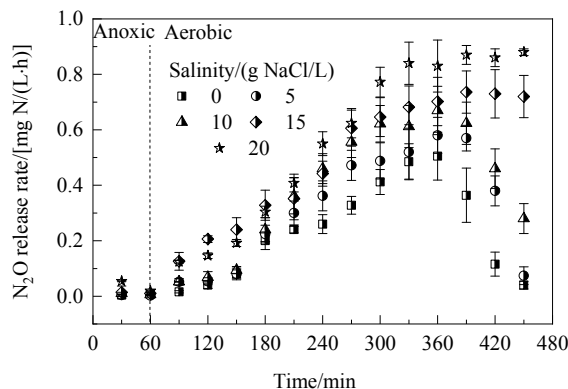


图 5 不同盐度下 SBBR 内脱氮过程的  $\text{N}_2\text{O}$  释放速率  
Fig.5 N<sub>2</sub>O release rates during nitrogen removal process under different salinities in SBBR

盐度小于  $10 \text{ g NaCl/L}$  时, 硝化初期( $150 \text{ min}$  内),  $\text{N}_2\text{O}$  释放速率不足  $0.1 \text{ mg N/(L}\cdot\text{h)}$ 。硝化过程以生成  $\text{NO}_3^-$  为主, 反应器内  $\text{NO}_2^-$  积累较少, 防止了以  $\text{NO}_2^-$  为电子受体的 AOB 好氧反硝化大量发生, 同时, 生物膜底部缺氧环境内发生  $\text{N}_2\text{O}$  还原过程, 防止了  $\text{N}_2\text{O}$  的积累和释放; 硝化过程后期( $150\sim360 \text{ min}$ ), 有机物含量降低, DO 浓度增加, 扩散进入生物膜内部能力增强, 生物膜内部缺氧区范围降低, 低氧条件下的反硝化过程导致  $\text{N}_2\text{O}$  的大量积累并释放<sup>[32]</sup>; 以内碳源作为电子供体时,  $\text{NO}_x^-$  还原过程受阻, 系统内出现部分  $\text{NO}_2^-$  积累[图 4(b)],  $\text{NO}_2^-/\text{HNO}_2$  对 Nos 具有明显抑制作用, 生物膜内部反硝化过程止步于  $\text{N}_2\text{O}$ ,  $\text{N}_2\text{O}$  释放速率增加。盐度为  $0, 5$  和  $10 \text{ g NaCl/L}$  时, SBBR 系统内最大  $\text{N}_2\text{O}$  释放速率分别为  $0.505, 0.580$  和  $0.670 \text{ mg N/(L}\cdot\text{h)}$ ;  $360 \text{ min}$  后,  $\text{NH}_4^+$  降至  $10.0 \text{ mg/L}$  以下, AOB 好氧反硝化过程电子供体减少,  $\text{N}_2\text{O}$  释放速率降低; 曝气结束( $450 \text{ min}$ )时,  $\text{N}_2\text{O}$  释放速率分别降至  $0.040, 0.074$  和  $0.280 \text{ mg N/(L}\cdot\text{h)}$ 。

盐度增至  $15$  和  $20 \text{ g NaCl/L}$  时, NOB 活性受阻, 硝化过程积累大量的  $\text{NO}_2^-$ , 高浓度  $\text{NH}_4^+$  耦合高浓度

$\text{NO}_2^-$ , 促进了低氧条件下 AOB 好氧反硝化过程的发生<sup>[25]</sup>。好氧曝气初始, SBBR 内  $\text{N}_2\text{O}$  释放速率分别达  $0.126$  和  $0.124 \text{ mg N/(L}\cdot\text{h)}$ ; 高盐度条件下, 微生物合成内碳源减少(图 3), 内源反硝化过程中, PHA 和 Gly 氧化过程提供电子速率降低, Nar, Nir 和 Nos 之间存在电子分配和竞争机制, 其中, Nos 和 Nir 均需在细胞色素氧化体系 c550 的电子传递过程获得电子, Nos 获得电子能力弱于 Nir<sup>[33]</sup>, 同步发生的内源反硝化过程中  $\text{N}_2\text{O}$  产量迅速增加, 反应后期, 其最大  $\text{N}_2\text{O}$  释放速率分别增至  $0.736$  和  $0.880 \text{ mg N/(L}\cdot\text{h)}$ 。

### 3.5 SBBR 脱氮过程 EPS 变化特性

细菌自身分泌产生的胞外聚合物(Extracellular Polymeric Substance, EPS)是生物膜形成的基础性物质, 主要由蛋白质、多聚糖、腐殖酸等组成<sup>[22]</sup>。进水  $\text{NaCl}$  盐度是影响 SBBR 生物膜微生物 EPS 含量的重要因素。进水盐度增加, 细胞内外离子浓度差异加大, 为平衡细胞膜内外渗透压, 细胞在渗透压的胁迫作用下分泌大量的酶和多聚物等辅助物质。EPS 增加可以增强微生物主动运输和扩散等生物活动, 维持正常的新陈代谢。EPS 成分和空间结构的改变, 可引起生物膜的亲和性、凝聚性和传质阻力等理化性能的改变, 从而导致生物膜反应器内部 DO 和有机物等反应基质传质性能发生变化, 进而影响 SBBR 内部缺氧区域大小和缺氧区反硝化过程, 导致反硝化过程  $\text{NO}_2^-$ ,  $\text{N}_2\text{O}$  等中间产物的积累和  $\text{N}_2\text{O}$  的释放。

图 6 为不同盐度生物膜表面 EPS 变化特性。为防止盐度增加导致的渗透压变化引起微生物裂解或死亡, 微生物通过增加 EPS 分泌方式平衡微生物细胞膜内外渗透压<sup>[34,35]</sup>。进水盐度由  $0 \text{ g NaCl/L}$  逐渐增至  $20 \text{ g NaCl/L}$ (对应阶段 I~V), “盛宴期” 蛋白质( $\text{PN}_{\text{fe}}$ )和多聚糖( $\text{PS}_{\text{fe}}$ )平均含量分别由  $26.2$  和  $4.8 \text{ mg/g MLVSS}$  增至  $46.8$  和  $12.0 \text{ mg/g MLVSS}$ , “饥饿期”  $\text{PN}_{\text{fa}}$  和  $\text{PS}_{\text{fa}}$  平均含量分别由  $21.3$  和  $4.2 \text{ mg/g MLVSS}$  增至  $48.0$  和  $13.4 \text{ mg/g MLVSS}$ 。

低盐度条件下, “盛宴期” SBBR 内含大量外源有机物, 微生物利用外源有机物合成内源物质, EPS( $\text{PN}+\text{PS}$ )含量增加, “饥饿期” 微生物逐渐进入内源呼吸阶段, “盛宴期” 积累的  $\text{EPS}_{\text{fe}}$  等大分子物质可充当细菌的碳源和能源而被消耗,  $\text{EPS}_{\text{fe}}$  含量降低。因此, “饥饿期”  $\text{EPS}_{\text{fa}}$  小于 “盛宴期”  $\text{EPS}_{\text{fe}}$  含量(图 6)。盐度增加, 大量不能适应高盐环境的细胞解体, 导致蛋白质和多糖等大分子物质释放, EPS 迅速增加, 而高盐度对微生物活性产生抑制作用, 代谢能力降低, 导致高盐条件下  $\text{EPS}_{\text{fa}}$  大于  $\text{EPS}_{\text{fe}}$ (图 6)。

随盐度增加,微生物PN/PS呈逐渐减小趋势。盐度为0 g NaCl/L, SBR内微生物“盛宴期”PN<sub>fe</sub>/PS<sub>fe</sub>和“饥饿期”PN<sub>fa</sub>/PS<sub>fa</sub>平均值分别为5.11和5.48;盐度增至20 g NaCl/L, PN<sub>fe</sub>/PS<sub>fe</sub>和PN<sub>fa</sub>/PS<sub>fa</sub>分别降至3.62和3.94。随盐度增加, EPS中PS比例增加。PS中含大量极性基团,与水分子结合能力较强,当环境渗透压增加时,PS增加可防止生物体内水分流失,盐度增加刺激微

生物分泌更多PS,以防御渗透压增加对细胞的破坏,这也是细菌抵御盐度增加的保护机制。PN/PS降低,污泥絮体疏水性能降低,生物膜结构变疏松,DO扩散进入膜内阻力减小,膜内缺氧区域减少,Nos对DO浓度变化敏感,DO增加,Nos获得电子能力减弱,抑制了N<sub>2</sub>O的还原过程,这也是导致高盐度下反硝化过程N<sub>2</sub>O释放增加的因素之一。

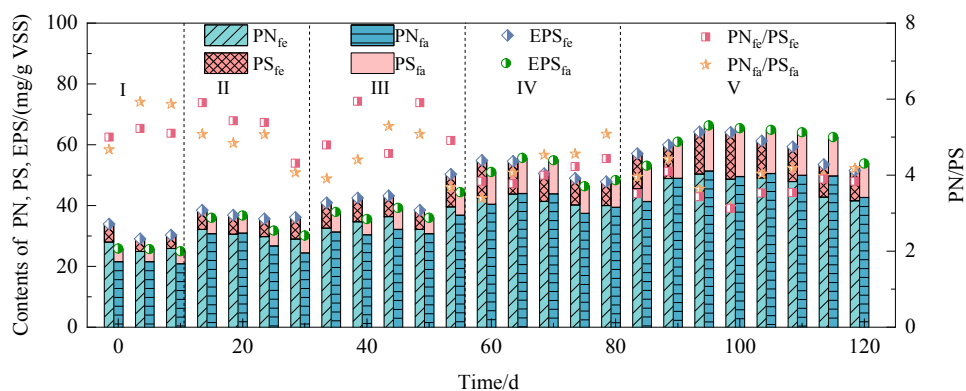


图6 SBR盛宴期和饥饿期PN, PS, EPS 和 PN/PS 的变化

Fig.6 Variations of PN, PS, EPS and PN/PS in feast and famine phases during the whole process

## 4 结论

本工作通过在污水中投加粗盐以模拟含盐污水,研究了SBR反应器处理不同盐度生活污水脱氮过程N<sub>2</sub>O释放及内聚物变化特性,得到以下结论:

(1) 在实验盐度范围内,盐度增加对COD去除影响较小。随盐度增加,SBR内平均NH<sup>4+</sup>去除率由98%以上降至约70.5%,TN去除率由42.4%降至16.9%,N<sub>2</sub>O产率由3.9%增至13.3%。盐度增加对菌群抑制程度依次为:亚硝态氮氧化菌(NOB)>氨氧化菌(AOB)>碳氧化菌。盐度由0 g NaCl/L增至20 g NaCl/L,SOUR<sub>AOB</sub>/SOUR<sub>NOB</sub>由0.90增至2.96,系统出水平均NO<sub>2</sub><sup>-</sup>/NO<sub>x</sub><sup>-</sup>由0.03增至0.89。

(2) 低盐度下( $\leq 10$  g NaCl/L),N<sub>2</sub>O主要产生于AOB好氧反硝化过程,N<sub>2</sub>O扩散至SBR底部缺氧区域,有助于N<sub>2</sub>O还原;高盐度下(>10 g NaCl/L),PHA和Gly合成量减少,硝化过程高浓度NO<sub>2</sub><sup>-</sup>积累耦合高剩余NH<sup>4+</sup>,AOB好氧反硝化过程增强,硝化过程后期,同步反硝化过程中碳源电子供体减少,高盐度加剧不同还原酶之间电子竞争,N<sub>2</sub>O还原受阻,释放量增加。

(3) 细胞EPS释放随盐度增加而增加,低盐度下,EPS可作为“饥饿期”碳源被微生物利用,EPS<sub>fa</sub>小于EPS<sub>fe</sub>;高盐度下,EPS释放增加,微生物活性受到高盐

度抑制,代谢能力降低,EPS<sub>fa</sub>大于EPS<sub>fe</sub>。盐度增加,PN/PS降低,生物膜结构变得疏松,DO扩散能力增强,膜内缺氧区域减少,N<sub>2</sub>O还原受阻。

## 参考文献

- [1] He H J, Chen Y J, Li X, et al. Influence of salinity on microorganisms in activated sludge processes: a review [J]. International Biodeterioration & Biodegradation, 2017, 119: 520–527.
- [2] Zhao W, Wang Y Y, Liu S H, et al. Denitrification activities and N<sub>2</sub>O production under salt stress with varying COD/N ratios and terminal electron acceptors [J]. Chemical Engineering Journal, 2013, 215/216(15): 252–260.
- [3] 郭姿璇, 王群, 余宗莲. 盐度对未驯化微生物活性的影响 [J]. 中国环境科学, 2017, 37(1): 181–187.
- [4] Guo Z X, Wang Q, She Z L. Effects of salinity on the activity of non-acclimated biomass [J]. China Environmental Science, 2017, 37(1): 181–187.
- [5] Zhao Y Y, Park H D, Park J H, et al. Effect of different salinity adaptation on the performance and microbial community in a sequencing batch reactor [J]. Bioresource Technology, 2016, 216: 808–816.
- [6] Wang J L, Gong B Z, Huang W, et al. Bacterial community structure in simultaneous nitrification, denitrification and organic matter removal process treating saline mustard tuber wastewater as revealed by 16S rRNA sequencing [J]. Bioresource Technology, 2017, 228: 31–38.
- [7] Stocker T F, Qin D, Plattner G K, et al. IPCC fifth assessment report, climate change 2013: the physical science basis [R]. Stockholm: Cambridge University Press, 2013: 8–10

- [7] Ravishankara A R, Daniel J S, Portmann R W. Nitrous oxide ( $N_2O$ ): the dominant zone-depleting substance emitted in the 21st century [J]. *Science*, 2009, 326(5949): 123–125.
- [8] Wunderlin P, Mohn J, Joss A, et al.  $N_2O$  emission from biological WWT—Global relevance and pathway identification with isotopes [C]//Proceedings of 7th IWA Leading-Edge Conference on Water and Wastewater Technologies. USA, 2010: 265–270.
- [9] Hink L, Lycus P, Gubry-Rangin C, et al. Kinetics of  $NH_3$ -oxidation,  $NO$ -turnover,  $N_2O$ -production and electron flow during oxygen depletion in model bacterial and archaeal ammonia oxidisers [J]. *Environmental Microbiology*, 2017, 19(12): 4882–4896.
- [10] White C J, Lehnert N. Is there a pathway for  $N_2O$  production from hydroxylamine oxidoreductase in ammonia-oxidizing bacteria [J]. *Proceedings of the National Academy of Sciences*, 2016, 113(51): 14474–14476.
- [11] Stuven R, Bock E. Nitrification and denitrification as a source for  $NO$  and  $NO_2$  production in high-strength wastewater [J]. *Water Research*, 2001, 35(8): 1905–1914.
- [12] Shi X, Hu H W, Zhu X, et al. Nitrifier-induced denitrification is an important source of soil nitrous oxide and can be inhibited by a nitrification inhibitor 3,4-dimethylpyrazole phosphate (DMPP) [J]. *Environmental Microbiology*, 2017, 19(12): 4851–4865.
- [13] Kampschreur M J, Temmink H, Kleerebezem R, et al. Nitrous oxide emission during wastewater treatment [J]. *Water Research*, 2009, 43(17): 4093–4103.
- [14] Sabba F, Terada A, Wells G, et al. Nitrous oxide emissions from biofilm processes for wastewater treatment [J]. *Applied Microbiology and Biotechnology*, 2018, 102(22): 9815–9829.
- [15] 巩有奎, 任丽芳, 彭永臻. 不同DO下SBR亚硝酸型同步脱氮及 $N_2O$ 释放特性 [J]. 化工学报, 2019, 70(4): 1550–1558.  
Gong Y K, Ren L F, Peng Y Z. Characteristics of simultaneous nitrification and denitrification via nitrite and  $N_2O$  emission in SBR under different DO concentrations [J]. *CIESC Journal*, 2019, 70(4): 1550–1558.
- [16] 王建龙, 吴立波, 齐星, 等. 用氧吸收速率(OUR)表征活性污泥硝化活性的研究 [J]. 环境科学学报, 1999, 19(3): 225–229.  
Wang J L, Wu L B, Qi X, et al. Characterization of nitrification activity of activated sludge by oxygen uptake rate (OUR) [J]. *Acta Scientiae Circumstantiae*, 1999, 19(3): 225–229.
- [17] 巩有奎, 苗志加, 彭永臻. 生物脱氮好氧阶段不同反应过程 $N_2O$ 产量 [J]. 环境工程学报, 2016, 12(12): 6963–6968.  
Gong Y K, Miao Z J, Peng Y Z. Nitrous oxide production from sequencing batch reactor sludge under nitrifying conditions of different process [J]. *Chinese Journal of Environmental Engineering*, 2016, 12(12): 6963–6968.
- [18] American Public Health Association (APHA). Standard methods for the examination of water and wastewater [M]. 21th Ed. Washington DC: American Public Health Association, American Water Works Association, Water Environment Federation, 2005: 9–72.
- [19] Oehmen A, Keller-Lehmann B, Zeng R J, et al. Optimisation of poly-β-hydroxyalkanoate analysis using gas chromatography for enhanced biological phosphorus removal systems [J]. *Journal of Chromatography A*, 2005, 1070(1/2): 131–136.
- [20] Zeng R J, Van Loosdrecht M C M, Yuan Z G, et al. Metabolic model for glycogen-accumulating organisms in anaerobic/aerobic activated sludge systems [J]. *Biotechnology and Bioengineering*, 2003, 81(1): 92–105.
- [21] Yang Q, Liu X H, Peng C Y, et al.  $N_2O$  production during nitrogen removal via nitrite from domestic wastewater: main sources and control method [J]. *Environmental Science & Technology*, 2009, 43(24): 9400–9406.
- [22] Campo R, Corsino S, Torregrossa M, et al. The role of extracellular polymeric substances on aerobic granulation with stepwise increase of salinity [J]. *Separation and Purification Technology*, 2018, 195(29): 12–20.
- [23] Cortés-Lorenzo C, Rodríguez-Díaz M, Sipkema D, et al. Effect of salinity on nitrification efficiency and structure of ammonia oxidizing bacterial communities in a submerged fixed bed bioreactor [J]. *Chemical Engineering Journal*, 2015, 266: 233–240.
- [24] Soliman M, Eldyasti A. Ammonia-Oxidizing Bacteria (AOB): opportunities and applications—a review [J]. *Reviews in Environmental Science and Bio/Technology*, 2018, 17(2): 285–321.
- [25] Chen X, Yuan Z, Ni B J. Nitrite accumulation inside sludge flocs significantly influencing nitrous oxide production by ammonium-oxidizing bacteria [J]. *Water Research*, 2018, 143(15): 99–108.
- [26] Shimada T, Zilles J, Raskin L, et al. Carbohydrate storage in anaerobic sequencing batch reactors [J]. *Water Research*, 2007, 41(20): 4721–4729.
- [27] Pittmann T, Steinmetz H. Influence of operating conditions for volatile fatty acids enrichment as a first step for polyhydroxyalkanoate production on a municipal waste water treatment plant [J]. *Bioresource Technology*, 2013, 148: 270–276.
- [28] 崔有为, 金常林, 王好韩, 等. 碳源对O/A-F/F模式积累内源聚合物及反硝化的影响 [J]. 环境科学, 2019, 40(1): 336–342.  
Cui Y W, Jin C L, Wang H H, et al. Effect of carbon sources on the accumulation of endogenous polymers and denitrification in the O/A-F/F mode [J]. *Environmental Science*, 2019, 40(1): 336–342.
- [29] Passanha P, Kedia G, Dinsdale R M, et al. The use of NaCl addition for the improvement of poly-hydroxyalkanoate production by *Cupriavidusnecator* [J]. *Bioresource Technology*, 2014, 163: 287–294.
- [30] Zhu R L, Wang S Y, Li J, et al. Biological nitrogen removal from landfill leachate using anaerobic-aerobic process: denitrification via organics in raw leachate and intracellular storage polymers of microorganisms [J]. *Bioresource Technology*, 2013, 128: 401–408.
- [31] Palmeiro S T, Fra V A, Rey M N, et al. Transient concentrations of NaCl affect the PHA accumulation in mixed microbial culture [J]. *Journal of Hazardous Materials*, 2016, 306: 332–339.
- [32] Gong Y K, Peng Y Z, Yang Q, et al. Formation of nitrous oxide in a gradient of oxygenation and nitrogen loading rate during denitrification of nitrite and nitrate [J]. *Journal of Hazardous Materials*, 2012, 227/228: 453–460.
- [33] Pan Y T, Ni B J, Yuan Z G, et al. Electron competition among nitrogen oxides reduction during methanol-utilizing denitrification in wastewater treatment [J]. *Water Research*, 2013, 47(10): 3273–3281.
- [34] Corsino S F, Campo R, Bella D G, et al. Cultivation of granular sludge with hypersaline oily wastewater [J]. *International Biodeterioration & Biodegradation*, 2015, 105: 192–202.
- [35] Wan C, Yang X, Lee D J, et al. Partial nitrification of wastewaters with high NaCl concentrations by aerobic granules in continuous flow reactor [J]. *Bioresource Technology*, 2014, 152: 1–6.